

Estimation and Control of Dynamical Systems

Stefano Di Lena

2025

Indice

1	Introduzione	1
2	Controllabilità	1
2.1	Gramiano di Controllabilità	1
2.2	Matrice di Kalman di Controllabilità	2
2.2.1	Forma di Kalman di Controllabilità	2
3	Retroazione di Stato	2
3.1	Forma Compagna	3
3.1.1	Stabilizzabilità	3
4	Osservabilità	3
4.1	Gramiano di Osservabilità	3
4.2	Matrice di Kalman di Osservabilità	4
4.2.1	Forma di Kalman di Osservabilità	4
4.2.2	Rivelabilità	4
5	Realizzazione	5
6	Controllo Ottimo	5
7	Osservatore	5
7.1	Osservatore di Luenberger	6
7.2	Osservatore di Ordine Ridotto	6
8	Matlab & Simulink	7

1 Introduzione

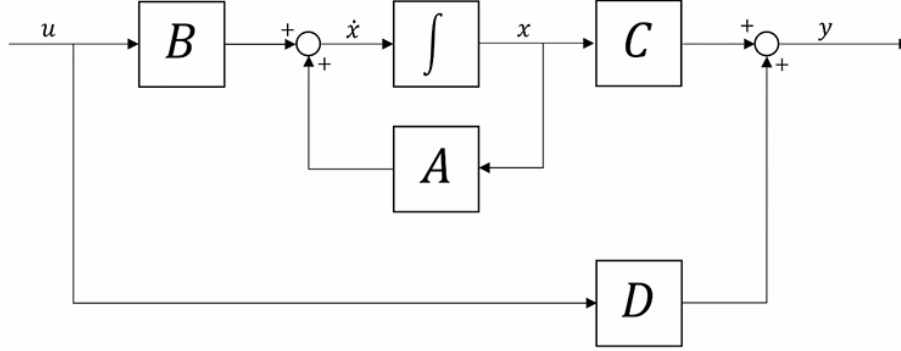
Un sistema dinamico LTI-TC è descritto dalle equazioni:

$$S : \begin{cases} \dot{x}(t) = Ax(t) + Bu(t) \\ y(t) = Cx(t) + Du(t) \end{cases}$$

Con $x \in R^n, y \in R^p, u \in R^m$.

Le dimensioni delle matrici sono: $A : n \times n, B : n \times m, C : p \times n, D : p \times m$.

Il sistema può essere rappresentato graficamente dal seguente schema a blocchi:



Se il sistema è strettamente proprio $D = 0$.

Per i sistemi LTI-TD:

$$S : \begin{cases} x(t+1) = Ax(t) + Bu(t) \\ y(t) = Cx(t) + Du(t) \end{cases}$$

2 Controllabilità

Un sistema dinamico LTI-TC si dice *controllabile* quando esiste un ingresso u che trasferisce lo stato del sistema da uno stato iniziale $x_0 = x(0)$ ad un qualunque stato $x_f = x(t_f)$ in un tempo $t_f > 0$ finito.

2.1 Gramiano di Controllabilità

È una matrice $n \times n$:

$$\Gamma(t) = \int_0^t e^{A\tau} B B^T e^{A^T \tau} d\tau$$

Il sistema è controllabile se e solo se:

$$\rho(\Gamma(t)) = n \quad \forall t > 0$$

L'ingresso di controllo u , che trasferisce lo stato del sistema da x_0 ad x_f è:

$$u(t) = B^T e^{A^T(t_f-t)} \Gamma^{-1}(t_f) (x_f - e^{At_f} x_0)$$

Per i sistemi LTI-TD non esiste il gramiano per calcolare l'ingresso in grado di trasferire lo stato da x_0 ad x_f , ma esiste una formula in grado di calcolare $u(k)$ che porta il sistema da x_0 ad x_f in massimo n passi (se il sistema è completamente controllabile). Dato un tempo $t \geq n$, si definisce il vettore contenente il valore di $u(k)$ negli istanti di tempo da 0 a $t-1$:

$$u^{t-1} = \begin{bmatrix} u(t-1) \\ \vdots \\ u(0) \end{bmatrix} = C_t^T (C_t C_t^T)^{-1} x_f$$

con C_t matrice di controllabilità in t passi (di dimensione $n \times mt$).

2.2 Matrice di Kalman di Controllabilità

$$M_c = [B \quad AB \quad \dots \quad A^{n-1}B]$$

Se $\rho(M_c) = n$ allora il sistema è controllabile. Altrimenti è possibile controllare solo n_c componenti [se $\rho(M_c) = n_c < n$].

2.2.1 Forma di Kalman di Controllabilità

Se si effettua una trasformazione per similitudine sullo stato (recording), si identifica un nuovo vettore di stato tale che: $x = P_c z \iff z = P_c^{-1}x$.

La matrice di controllabilità diventa $\tilde{M}_c = P_c^{-1}M_c = \begin{bmatrix} M_c \\ 0 \end{bmatrix}$.

Per calcolare P_c : scegliamo le prime n_c colonne indipendenti di M_c e le restanti $n - n_c$ colonne sono scelte in modo da essere indipendenti dalle prime e tra loro.

Possiamo scrivere scomponendo z le equazioni di stato e di uscita come:

$$\begin{cases} \dot{z}_c = A_c z_c + A_1 z_{n_c} + B_c u \\ \dot{z}_{n_c} = A_{n_c} z_{n_c} \\ y = C_1 z_c + C_2 z_{n_c} \end{cases}$$

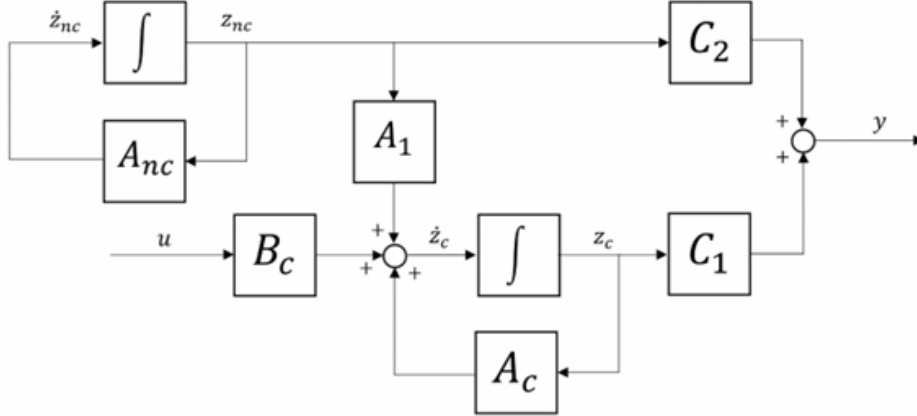
Con:

$$\begin{bmatrix} A_c & A_1 \\ 0 & A_{n_c} \end{bmatrix} = P_c^{-1}AP_c$$

$$\begin{bmatrix} B_c \\ 0 \end{bmatrix} = P_c^{-1}B$$

$$\begin{bmatrix} C_1 & C_2 \end{bmatrix} = CP_c$$

Lo schema a blocchi del sistema è:



L'evoluzione è $z_{n_c} = e^{A_{n_c}t} z_{n_c}(0)$.

3 Retroazione di Stato

Consiste nel sottrarre all'ingresso il vettore di stato, pre-moltiplicato per un opportuna matrice K .

Il nuovo ingresso di controllo è $u = r - Kx$, con $r \in R^m, k \in R^{n \times m}$. L'equazione di stato diventa:

$$\dot{x} = Ax + Bu = Ax + B(r - Kx) = (A - BK)x + Br = A_k x + Br$$

3.1 Forma Compagna

$$\dot{x}_\gamma = \begin{bmatrix} 0 & 1 & \cdots & 0 \\ \vdots & 0 & \ddots & \vdots \\ \vdots & \vdots & \cdots & 1 \\ -\alpha_0 & -\alpha_1 & \cdots & -\alpha_{n-1} \end{bmatrix} x_\gamma + \begin{bmatrix} 0 \\ \vdots \\ 0 \\ 1 \end{bmatrix} u$$

Dove $\alpha_0, \dots, \alpha_{n-1}$ sono i coefficienti del polinomio caratteristico della matrice di stato A_γ .

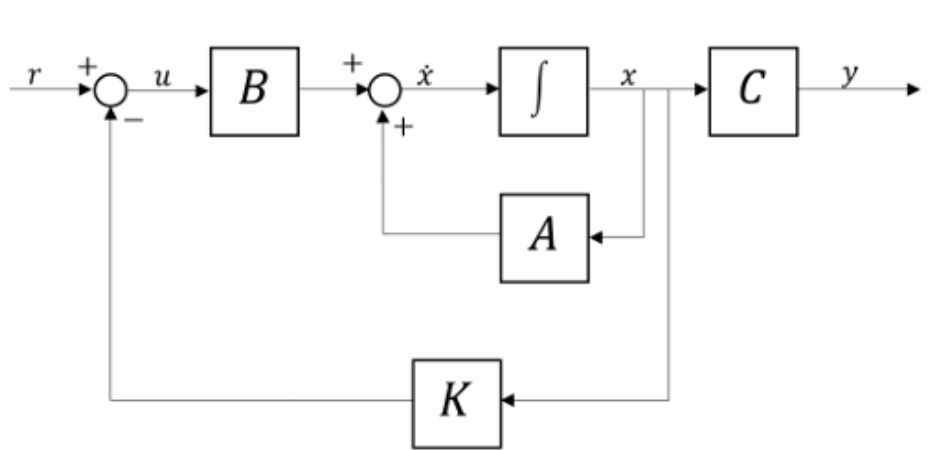
$$p(\lambda) = \lambda^n + \alpha_{n-1}\lambda^{n-1} + \cdots + \alpha_1\lambda + \alpha_0$$

Un sistema in questa forma è controllabile; perciò i sistemi controllabili possono essere trasformati $x = P_\gamma x_\gamma$. Data la matrice di retroazione:

$$K_\gamma = [\bar{\alpha}_0 - \alpha_0 \quad \bar{\alpha}_1 - \alpha_1 \quad \cdots \quad \bar{\alpha}_{n-1} - \alpha_{n-1}]$$

Dove $\bar{\alpha}_0, \dots, \bar{\alpha}_{n-1}$ sono i coefficienti del polinomio caratteristico desiderato. $P = M_c M_c^{-1}$.

$$M_c^{-1} = \begin{bmatrix} \alpha_1 & \alpha_2 & \cdots & \alpha_{n-1} & 1 \\ \alpha_2 & \alpha_3 & \cdots & 1 & 0 \\ \vdots & \vdots & \cdots & 0 & 0 \\ \alpha_{n-1} & 1 & \cdots & 0 & 0 \\ 1 & 0 & \cdots & 0 & 0 \end{bmatrix}$$



3.1.1 Stabilizzabilità

Nei sistemi *non controllabili* ha senso fare la retroazione di stato sulla parte controllabile solo se il sistema è *stabilizzabile*, ovvero se per ogni polo instabile è verificata la seguente condizione:

$$\rho([A - \lambda I \quad B]) = n$$

4 Osservabilità

Un sistema dinamico LTI-TC è detto osservabile se e solo se il suo stato iniziale x_0 può essere determinato a partire dall'uscita y per un tempo finito $t_f > 0$.

4.1 Gramiano di Osservabilità

$$O(t) = \int_0^t e^{A^T \tau} C^T C e^{A \tau} d\tau$$

Il sistema è osservabile se e solo se:

$$\rho(O(t)) = n \quad \forall t > 0$$

Dall'uscita si può ricostruire lo stato iniziale:

$$x(0) = O^{-1}(t_f) \int_0^{t_f} e^{A^T \tau} C^T y(\tau) d\tau$$

Nei sistemi LTI-TD, invece, dato il vettore contenente i valori dell'uscita libera:

$$y_\ell^{t-1} = \begin{bmatrix} y(t-1) \\ \vdots \\ y(0) \end{bmatrix}$$

Il valore dello stato iniziale è dato da:

$$x(0) = (O_t^T O_t)^{-1} O_t^T y_\ell^{t-1}$$

Con O_t matrice di osservabilità in t passi (di dimensione $pt \times n$).

4.2 Matrici di Kalman di Osservabilità

$$M_o = \begin{bmatrix} C \\ CA \\ \vdots \\ CA^{n-1} \end{bmatrix}$$

Il sistema è osservabile se e solo se $\rho(M_o) = n$. Se, invece, $\rho(M_o) = n_o < n$; allora solo n_o componenti dello stato iniziale potranno essere determinate.

4.2.1 Forma di Kalman di Osservabilità

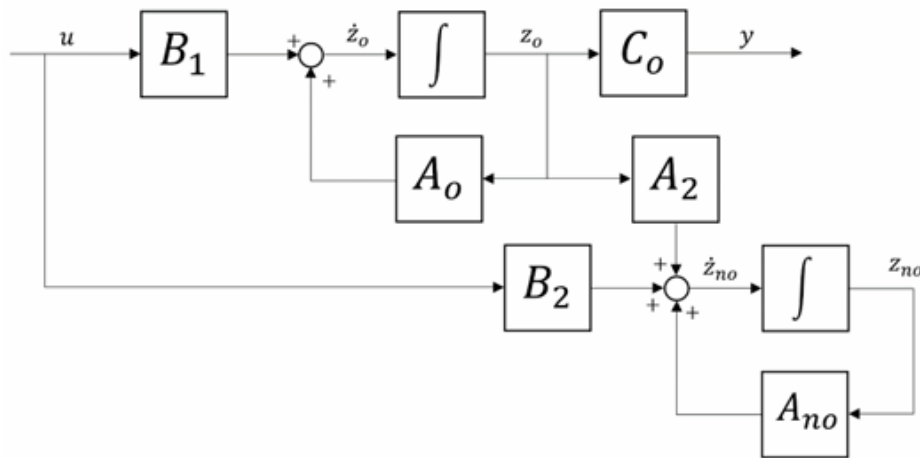
La matrice di trasformazione P_o è scelta in modo tale che le prime n_o colonne coincidano con le n_o righe indipendenti di M_o trasposte, e le restanti $n - n_o$ colonne sono scelte in modo da essere ortogonali alle prime e linearmente indipendenti tra loro.

$$x = P_o z$$

Le equazioni di stato e di uscita si trasformano nel seguente modo:

$$\begin{cases} \dot{z}_o = A_o z_o + B_1 u \\ \dot{z}_{no} = A_2 z_o + A_{no} z_{no} + B_2 u \\ y = C_o z_o \end{cases}$$

Lo schema a blocchi che rappresenta il sistema è:



4.2.2 Rivelabilità

Il sistema si dice *rivelabile* se e solo se $\rho\left(\begin{bmatrix} A - \lambda I \\ C \end{bmatrix}\right) = n$ per ogni polo instabile.

5 Realizzazione

Consiste nel trovare un sistema dinamico a partire da una f.d.t. assegnata.

Considerando un sistema strettamente proprio ($D=0$) di ordine n , il grado del numeratore è strettamente minore del grado del denominatore:

$$G(s) = \frac{\beta_{n-1}s^{n-1} + \dots + \beta_1s + \beta_0}{s^n + \alpha_{n-1}s^{n-1} + \dots + \alpha_1s + \alpha_0}$$

Le realizzazioni possibili di una f.d.t. sono infinite.

Una realizzazione *minima* è una realizzazione i cui autovalori sono completamente controllabili ed osservabili (il sistema sarà di ordine n). Un esempio di questa realizzazione è ottenibile attraverso la forma compagna:

$$A = \begin{bmatrix} 0 & 1 & \dots & 0 \\ \vdots & \vdots & \ddots & \vdots \\ 0 & 0 & \dots & 1 \\ -\alpha_0 & -\alpha_1 & \dots & -\alpha_{n-1} \end{bmatrix} \quad B = \begin{bmatrix} 0 \\ \vdots \\ 0 \\ 1 \end{bmatrix} \quad C = [\beta_0 \quad \beta_1 \quad \dots \quad \beta_{n-1}]$$

6 Controllo Ottimo

Dato un generico sistema dinamico, descritto dall'equazione di stato $\dot{x}(t) = f(x(t), u(t), t)$, si vuole che esso assumi un certo comportamento in modo tale da minimizzare un certo obiettivo funzionale:

$$J = S(x(t_f), t_f) + \int_{t_0}^{t_f} f_o(x(t), u(t), t) dt$$

Si definisce la funzione *Hamiltoniana*:

$$H(x, u, \lambda, t) = f_o(x, u, t) + \lambda^T f(x, u, t)$$

Dove $\lambda \in R^n$ è detta variabile di co-stato.

Valgono le seguenti equazioni di stato:

$$\begin{cases} \dot{\lambda} = -(\frac{\partial H}{\partial x})^T \\ \dot{x} = (\frac{\partial H}{\partial \lambda})^T \end{cases}$$

Per minimizzare H rispetto ad u si pone la sua derivata uguale a zero, questa equazione viene detta "di controllo".

Se x_f o t_f sono assegnate possiamo ricavare altre condizioni. Si vuole che:

$$[H + \frac{\partial S}{\partial t}]_{t_f} \delta t_f + [(\frac{\partial S}{\partial x})^T - \lambda]_{t_f}^T \delta x_f = 0$$

Se t_f è assegnato $\delta t_f = 0$; se x_f è assegnato $\delta x_f = 0$. Se invece non sono fissi, deve accadere che:

$$H(t_f) = -\frac{\partial S}{\partial t}|_{t_f} \quad \lambda(t_f) = (\frac{\partial S}{\partial x})^T|_{t_f}$$

7 Osservatore

Descritto dalle seguenti equazioni:

$$\begin{cases} \dot{\hat{x}} = \hat{A}\hat{x} + \hat{B}u \\ \hat{y} = \hat{C}\hat{x} \end{cases}$$

Dove \hat{x} è sia lo stato dell'osservatore, che la stima dello stato del sistema da osservare.

Si definisce l'errore sulla stima: $\epsilon(t) = x(t) - \hat{x}(t)$.

Parliamo di *stimatore asintotico* quando: $\lim_{t \rightarrow +\infty} |\epsilon(t)| = 0$.

7.1 Osservatore di Luenberger

$$\begin{cases} \dot{\hat{x}} = A\hat{x} + Bu + K_o(y - \hat{y}) = (A - K_o\hat{C})\hat{x} + Bu + K_o y \\ \hat{y} = \hat{C}\hat{x} \end{cases}$$

Definiamo quindi l'ingresso dell'osservatore $\hat{u} = \begin{bmatrix} u \\ y \end{bmatrix}$. Identifichiamo le matrici:

$$\hat{A} = A - K_o C \quad \hat{B} = \begin{bmatrix} B & K_o \end{bmatrix}$$

Un osservatore così definito è *asintotico*.

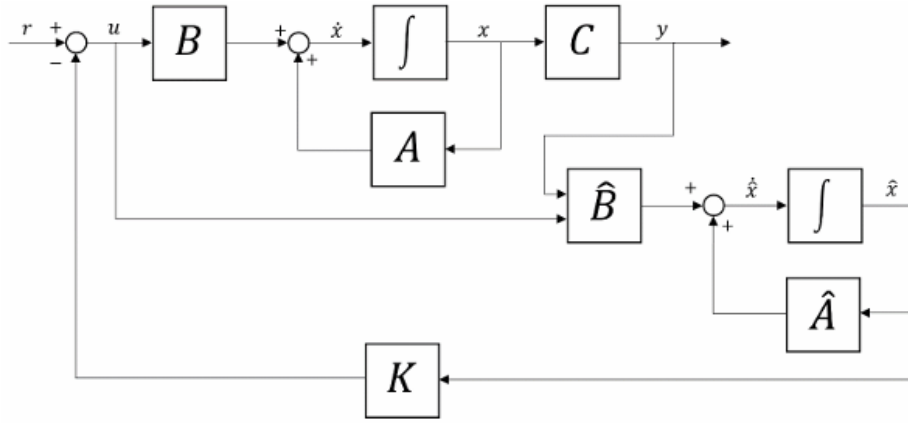
Per determinare K_o dobbiamo effettuare la retroazione di stato sul sistema duale:

$$\begin{cases} \dot{x}_D = A^T x_D + C^T u_D \\ y_D = B^T x_D \end{cases}$$

Quindi $A_D = A^T, B_D = C^T, C_D = B^T$.

La matrice di controllabilità del sistema duale è uguale alla trasposta della matrice di osservabilità del sistema di partenza: $M_{CD} = M_O^T$. Quindi se il sistema originale è completamente osservabile, allora il sistema duale è completamente controllabile e viceversa.

Dopo aver calcolato la retroazione di stato del sistema duale: $K_o = K_D^T$. Lo schema a blocchi:



7.2 Osservatore di Ordine Ridotto

Applicabile se l'uscita è del tipo $y = Cx = \begin{bmatrix} C_1 & 0 \end{bmatrix} \begin{bmatrix} x_1 \\ x_2 \end{bmatrix} = C_1 x_1$; con $C_1 \in R^{p \times p}$.

Nel caso in cui sia invertibile, si ottengono le prime p componenti dello stato così: $x_1 = C_1^{-1} y$.

Resta da stimare $\hat{x}_2 = z + Ly$; utilizzando un osservatore di ordine $n - p$:

$$\begin{bmatrix} \dot{x}_1 \\ \dot{x}_2 \end{bmatrix} = \begin{bmatrix} A_{11} & A_{12} \\ A_{21} & A_{22} \end{bmatrix} \begin{bmatrix} x_1 \\ x_2 \end{bmatrix} + \begin{bmatrix} B_1 \\ B_2 \end{bmatrix} u$$

Lo stimatore avrà uno stato regolato dalla seguente equazione di stato: $\dot{z} = Fz + Gy + Hu$.

Avendo introdotto 4 matrici, abbiamo bisogno di 3 vincoli:

$$\begin{cases} A_{21} + FLC_1 - GC_1 - LC_1 A_{11} = 0 \\ A_{22} - LC_1 A_{12} = 0 \\ B_2 - H - LC_1 B_1 = 0 \end{cases}$$

Possiamo quindi determinare:

$$\begin{cases} F = A_{22} - LC_1 A_{12} \\ G = (A_{21} - LC_1 A_{11}) C_1^{-1} + FL \\ H = B_2 - LC_1 B_1 \end{cases}$$

Definiamo il sistema duale al sottosistema 2:

$$\dot{x}_{2D} = A_{22}^T x_{2D} + (C_1 A_{12})^T u$$

Si effettua la retroazione di stato su questo sistema e si ricava la matrice di retroazione K_D .

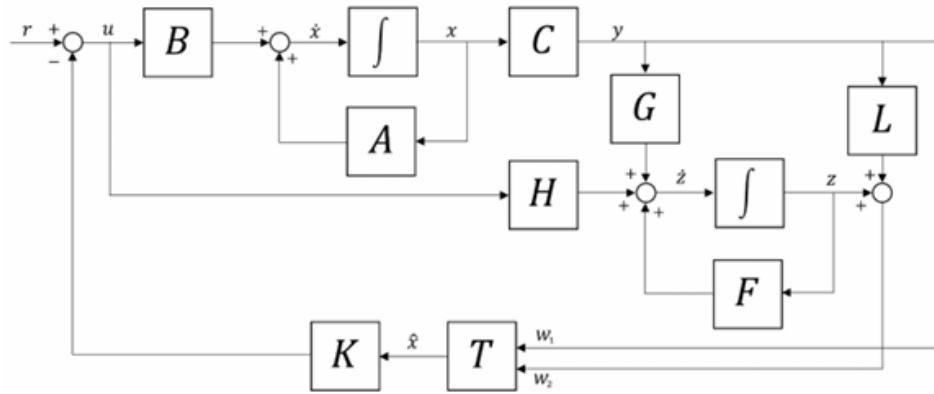
Quindi $L = K_D^T$.

Se il sistema non è nella forma descritta possiamo effettuare una trasformazione $T^{-1} = \begin{bmatrix} C \\ R \end{bmatrix}$, dove R è una qualsiasi matrice tale da garantire la non singolarità di T . Effettuando la trasformazione $x = Tw$, si ottiene il sistema:

$$\begin{bmatrix} \dot{w}_1 \\ \dot{w}_2 \end{bmatrix} = \begin{bmatrix} \tilde{A}_{11} & \tilde{A}_{12} \\ \tilde{A}_{21} & \tilde{A}_{22} \end{bmatrix} \begin{bmatrix} w_1 \\ w_2 \end{bmatrix} + \begin{bmatrix} \tilde{B}_1 \\ \tilde{B}_2 \end{bmatrix} u$$

$$y = \begin{bmatrix} I & 0 \end{bmatrix} \begin{bmatrix} w_1 \\ w_2 \end{bmatrix} = w_1$$

Lo schema a blocchi che rappresenta il sistema è:



8 Matlab & Simulink

Esempio 1

Considerando il seguente sistema lineare dinamico:

$$\begin{cases} \dot{x}_1(t) = 2x_1(t) + x_2(t) + 2x_3(t) \\ \dot{x}_2(t) = 2x_1(t) + 2x_2(t) + u(t) \\ \dot{x}_3(t) = -6x_3(t) + 2u(t) \\ y(t) = 2x_1(t) + x_2(t) + 2x_3(t) \end{cases}$$

Script Matlab (.m) in cui:

- determinare il sistema in forma di stato;
- analizzare la controllabilità e l'osservabilità (dire se il sistema è completamente controllabile ed osservabile);
- determinare una matrice di retroazione di stato K che imponga gli autovalori $[-2, -3, -6]$;
- determinare il sistema chiuso in retroazione con K in forma di stato e la sua risposta al gradino;
- verificare che il sistema chiuso in retroazione ha gli autovalori richiesti;
- determinare un osservatore di ordine ridotto che imponga gli autovalori $[-1 \pm j]$;
- verificare che il sistema con l'osservatore determinato abbia gli autovalori richiesti.

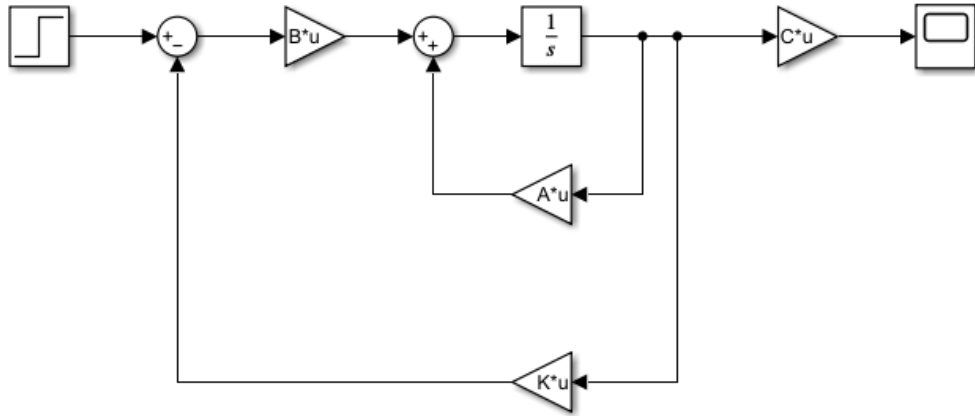
```

1 % Sistema lineare dinamico fornito
2 A = [2, 1, 2; 2, 2, 0; 0, 0, -6];
3 B = [0; 1; 2];
4 C = [2, 1, 2];
5 D = 0;
6
7 % Sistema in forma di stato
8 sys_ol = ss(A,B,C,D);
9 n = length(A);
10 % Analisi la Controllabilita'
11 Mc = ctrb(A,B);
12
13 if (rank(Mc) == n)
14     disp("il sistema e' completamente controllabile");
15 else
16     disp("il sistema non e' completamente controllabile");
17 end
18 % Analisi l'Osservabilita'
19 Mo = obsv(A,C);
20
21 if (rank(Mo) == n)
22     disp("il sistema e' completamente osservabile");
23 else
24     disp("il sistema non e' completamente osservabile");
25 end
26
27 % Retroazione di stato
28 p = [-2, -3, -6];
29 K = place(A,B,p);
30 % Sistema chiuso in retroazione con K in forma di stato
31 % e la sua risposta al gradino
32 A_cl = A-B*K;
33 sys_cl = ss(A_cl,B,C,D);
34 step(sys_cl);
35 % Verifica che il sistema chiuso in retroazione ha gli autovalori
    richiesti
36 eig_cl = eig(sys_cl);
37 disp(eig_cl);
38
39 % Osservatore di ordine ridotto
40 po = [-1-1j, -1+1j];
41
42 T = [C;0,1,0;0,0,1]; %Trasformazione di stato
43
44 A_1 = T*A/T; %con A/T e' equivalente a fare A*inv(T)
45 B_1 = T*B;
46 C_1 = C/T;
47
48 A_2 = A_1(end-1:end, end-1:end); %Selezione sottomatrice A22
49 B_2 = (C_1(1)*A_1(1,end-1:end))'; %Calcolo di C1*A12 trasposto
50 Kd = place(A_2',B_2,po);
51 L = Kd';
52
53 % Verifica che gli autovalori sono quelli richiesti
54 F = A_2 - L*C_1(1)*A_1(1,2:3);
55 eig_obs = eig(F);
56 disp(eig_obs);

```

Simulink:

- schema a blocchi del sistema chiuso in retroazione con K con la possibilità di visualizzare la risposta del sistema ad un gradino di ampiezza 2.



Esempio 2

Considerando il seguente sistema lineare dinamico:

$$\begin{cases} \dot{x}_1(t) = x_1(t) + 4x_2(t) + 4x_3(t) \\ \dot{x}_2(t) = 2x_1(t) + 2x_2(t) \\ \dot{x}_3(t) = -6x_3(t) + u(t) \\ y(t) = 4x_1(t) \end{cases}$$

Script Matlab (.m) in cui:

- determinare il sistema in forma di stato;
- determinare la f.d.t. (funzione di trasferimento) del sistema;
- analizzare la controllabilità e l'osservabilità (dire se il sistema è completamente controllabile ed osservabile);
- determinare una matrice di retroazione di stato K che imponga gli autovalori $[-1, -2, -3]$;
- determinare il sistema chiuso in retroazione con K in forma di stato e la sua risposta al gradino;
- verificare che il sistema chiuso in retroazione ha gli autovalori richiesti;
- determinare un osservatore di ordine ridotto che imponga gli autovalori $[-5, -30]$;
- verificare che il sistema con l'osservatore determinato abbia gli autovalori richiesti.

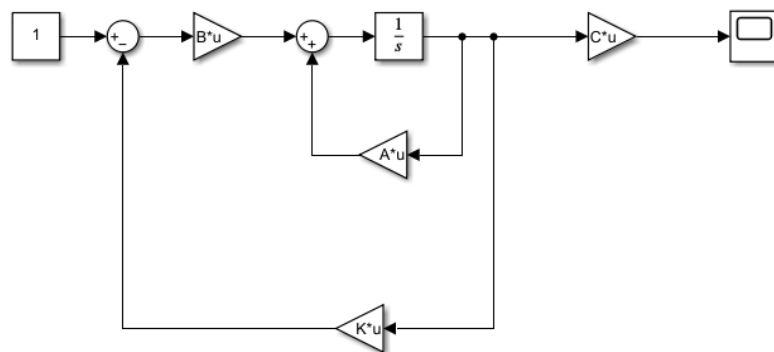
Simulink:

- schema a blocchi del sistema chiuso in retroazione con K, con la possibilità di visualizzare la risposta del sistema ad un riferimento costante di ampiezza 1.

```

1 % Definizione matrici
2 A = [1, 4, 4; 2, 2, 0; 0, 0, -6];
3 B = [0; 0; 1];
4 C = [4, 0, 0];
5 D = 0;
6
7 % Definizione del sistema nello spazio di stato
8 sys_ol = ss(A,B,C,D);
9 [num,den] = ss2tf(A,B,C,D);
10
11 % Controllabilita' e Osservabilita'
12 Mc=ctrb(A,B);
13 if(rank(Mc)==length(A))
14     disp("Il sistema e' completamente controllabile")
15 else
16     disp("Il sistema non e' completamente controllabile")
17 end
18
19 Mo=obsv(A,C);
20 if(rank(Mo)==length(A))
21     disp("Il sistema e' completamente osservabile");
22 else
23     disp("Il sistema non e' completamente osservabile");
24 end
25
26 % Retroazione di stato
27 p = [-1,-2,-3];
28 K = place(A,B,p);
29 sys_cl = ss(A-B*K,B,C,D);
30 step(sys_cl); %risposta al gradino
31
32 eig_cl = eig(A-B*K);
33 disp(eig_cl);
34
35 %Osservatore di ordine ridotto
36 po = [-5,-30];
37 kd = place(A(end-1:end,end-1:end)',C(1)*A(1,end-1:end)',po);
38 L=kd';
39 eig_L = eig(A(end-1:end,end-1:end)-L*C(1)*A(1,end-1:end));
40 disp(eig_L);

```



Esempio 3

Considerando il seguente sistema lineare dinamico:

$$\dot{x}(t) = \begin{bmatrix} -100 & 0 & 0 \\ 0 & 0 & 1 \\ -5 & 200 & 0 \end{bmatrix} x(t) + \begin{bmatrix} 500 \\ 0 \\ 1 \end{bmatrix} u(t)$$

$$y(t) = [0 \quad 1 \quad 0] x(t)$$

Script Matlab (.m) in cui:

- determinare il sistema in forma di stato;
- verificare la stabilità del sistema;
- verificare la controllabilità e l'osservabilità;
- determinare un osservatore di ordine ridotto ce abbia i seguenti autovalori $[-10, -20]$;
- calcolare le matrici F, G, H;
- verificare che l'osservatore abbia gli autovalori richiesti.

Simulink:

- schema a blocchi del sistema con l'osservatore di ordine minimo, evidenziando le variabili in gioco.

```

1 % Matrici del sistema
2 A = [-100, 0, 0; 0, 0, 1; -5, 200, 0];
3 B = [500; 0; 1];
4 C = [0, 1, 0];
5 D = 0;
6
7 % Sistema in forma di stato
8 sys = ss(A,B,C,D);
9
10 % stabilita' del sistema
11 autoalori = eig(sys);
12 stable = isstable(sys);
13 if(stable == true)
14     disp("il sistema e' stabile")
15 else
16     disp("il sistema e' instabile")
17 end
18
19 % controllabilita' ed osservabilita'
20 if (rank(ctrb(A,B)) == length(A))
21     disp("il sistema e' completamente controllabile")
22 else
23     disp("il sistema non e' completamente controllabile")
24 end
25
26 if (rank(observ(A,C)) == length(A))
27     disp("il sistema e' completamente osservabile")
28 else
29     disp("il sistema non e' completamente osservabile")
30 end

```

```

1 % osservatore di ordine ridotto
2 po = [-10, -20];
3
4 Tinv = [C; 1,0,0; 0,0,1];
5
6 Abar = Tinv*A/Tinv;
7 Bbar = Tinv*B;
8 Cbar = C/Tinv;
9
10 A11 = Abar(1,1);
11 A12 = Abar(1,2:3);
12 A21 = Abar(2:3,1);
13 A22 = Abar(2:3,2:3);
14 B1 = Bbar(1);
15 B2 = Bbar(2:3);
16 C1 = Cbar(1);
17
18 Ad = A22';
19 Bd = (C1*A12)';
20
21 kd = place(Ad, Bd, po);
22 L = kd';
23
24 F = A22 - L*C1*A12;
25 G = (A21 - L*C1*A11)/C1 + F*L;
26 H = B2 - L*C1*B1;
27
28 % verifica gli autovalori degli osservatori
29 autovalori_obs = eig(F);

```

Esempio 4

A partire dal modello lineare costituito dalle seguenti equazioni di stato:

$$\begin{cases} \dot{x}_1(t) = x_2(t) \\ \dot{x}_2(t) = -\frac{mg}{M}x_3(t) + \frac{1}{M}u(t) \\ \dot{x}_3(t) = x_4(t) \\ \dot{x}_4(t) = \frac{(M+m)g}{ML}x_3(t) - \frac{1}{ML}u(t) \end{cases}$$

con $M = 1.7; m = 0.7; L = 0.7; g = 9.81$.

Considerando che le uscite del sistema sono gli stati (x_1, x_3) , si realizzi uno script Matlab che consenta di:

- definire i parametri caratteristici del sistema e definire il sistema in forma di stato;
- determinare gli autovalori del sistema;
- verificare controllabilità ed osservabilità;
- applicare una retroazione di stato K che minimizzi il funzionale di costo

$$J = \int_0^{+\infty} (x^T(t)Qx(t) + u^T(t)Ru(t))dt$$

con R fissato in modo da ridurre l'azione di controllo e Q scelta opportunamente;

- definire il sistema in anello chiuso in retroazione con K;
- visualizzare gli stati e le uscite del sistema in due figure diverse (inserire legenda);

- considerando lo stato iniziale $\bar{x} = [-0.5, -0.3, 0.3, 0.5]^T$ calcolare la risposta libera del sistema.

Si analizzi il modello in Simulink (creando un subsystem), verificando l'efficacia del controllore in retroazione di stato progettato ($u(t) = -Ku(t)$).

```

1 %% Definisco i parametri caratteristici:
2 M = 1.7;      % Massa carrello [kg]
3 m = 0.7;      % Massa pendolo [kg]
4 L = 0.7;      % Lunghezza asta pendolo [m]
5 g = 9.81;     % Accelerazione di gravita' [m/s^2]
6
7 %% Matrici del sistema lineare basate sulle equazioni fornite
8 % x = [x1; x2; x3; x4] = [posizione carrello; velocita' carrello;
9   angolo pendolo; velocita' angolare pendolo]
10 A = [0, 1, 0, 0;
11      0, 0, -m*g/M, 1/M;
12      0, 0, 0, 1;
13      0, 0, (M+m)*g/(M*L), -1/(M*L)];
14
15 B = [0; 1/M; 0; -1/(M*L)];
16
17 C = [1, 0, 0, 0; % Uscita 1: posizione carrello (x1)
18      0, 0, 1, 0]; % Uscita 2: angolo pendolo (x3)
19
20 D = [0; 0];
21
22 % Definizione del sistema in forma di stato
23 sys = ss(A, B, C, D);
24
25 % Determinare gli autovalori del sistema
26 autovalori_anello_aperto = eig(A);
27
28 % Controllabilita' ed Osservabilita'
29 if(rank(ctrb(A,B)) == length(A))
30     disp("il sistema e' completamente controllabile");
31 else
32     disp("il sistema non e' completamente controllabile");
33 end
34
35 if(rank(observ(A,C)) == length(A))
36     disp("il sistema e' completamente osservabile");
37 else
38     disp("il sistema non e' completamente osservabile");
39 end
40
41 %% Retroazione di stato con controllore LQR
42 % Scelta delle matrici di peso Q e R
43
44 % Q penalizza lo stato. Q = C'*C penalizza le uscite (x1 e x3) in
45   modo quadratico.
46 Q = C'*C; % Penalizza (x1)^2 e (x3)^2 con peso 1.
47
48 % R penalizza l'ingresso di controllo (u).
49 R = 10; % Scelta R=10 per "ridurre l'azione di controllo" rispetto
   ad R=1. Un valore di R maggiore penalizza l'energia di controllo
   , tipicamente risultando in un controllo di minore ampiezza.

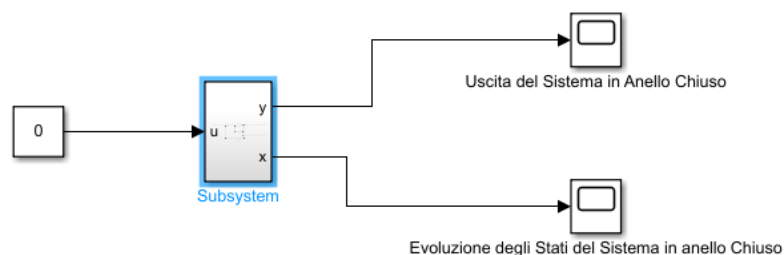
```

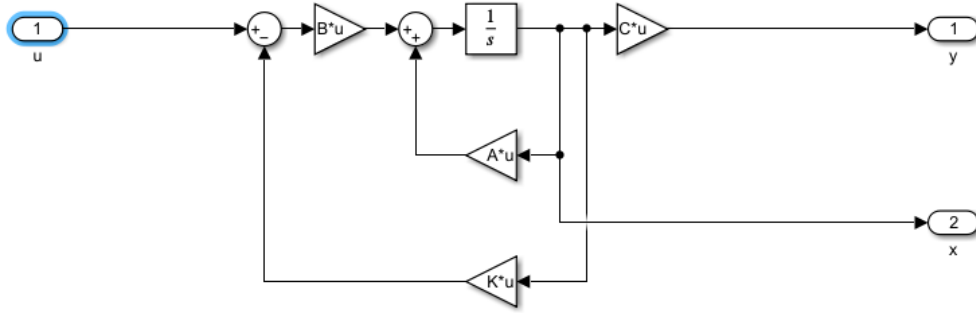
```

50 % Calcolare K, S e gli autovalori del sistema in anello chiuso
    usando lqr
51 [K, S, autovalori_anello_chiuso_LQR] = lqr(A, B, Q, R);
52
53 P = autovalori_anello_chiuso_LQR;
54
55
56 %% Definizione sistema in anello chiuso retroazionato con K
57 sys_cl = ss(A-B*K,B,C,D);
58
59 %% Visualizzare gli stati e le uscite del sistema e calcolare la
    risposta libera
60 x0 = [-0.5; -0.3; 0.3; 0.5]; % Stato iniziale fornito: [x1; x2; x3;
    x4]
61
62 % Intervallo di tempo per la simulazione della risposta libera
63 T_sim = 15; % Aumentato il tempo di simulazione per osservare la
    convergenza
64 t = 0:0.01:T_sim; % Vettore dei tempi
65
66 % Calcolare la risposta libera del sistema in anello chiuso dallo
    stato iniziale x0
67 % initial(sys, x0, t) calcola la risposta libera del sistema 'sys'
    dallo stato iniziale 'x0'
68 % agli istanti di tempo specificati nel vettore 't'.
69 [Y, T, X] = initial(sys_cl, x0, t); % Y = C*X
70 figure(1);
71 plot(T,X);
72 legend('x1', 'x2', 'x3', 'x4');
73 xlabel('Tempo [s]');
74 ylabel('Stati');
75 title('Evoluzione degli stati del sistema in anello chiuso');
76 grid on;
77
78 figure(2);
79 plot(T,Y);
80 legend('y1=x1', 'y2=x3');
81 xlabel('Tempo [s]');
82 ylabel('Uscite');
83 title('Uscite del sistema in anello chiuso');
84 grid on;

```

Sia l'analisi teorica (autovalori in anello chiuso) che le simulazioni in Matlab e Simulink dimostrano che il controllore LQR progettato è efficace nello stabilizzare asintoticamente il pendolo inverso linearizzato a partire da condizioni iniziali non nulle, riportando e mantenendo lo stato del sistema al suo punto di equilibrio.





Esempio 5

Si consideri un sistema lineare tempo discreto:

$$\begin{cases} x(n+1) = Ax(n) + B(u(n) + w(n)) \\ y(n) = Cx(n) \end{cases}$$

$$A = \begin{bmatrix} 1.14 & -0.49 & 0.12 \\ 1.1 & 0 & 0 \\ 0 & 1.1 & 0 \end{bmatrix} \quad B = \begin{bmatrix} -0.39 \\ 0.49 \\ 0.53 \end{bmatrix} \quad C = [1 \quad 0 \quad 0]$$

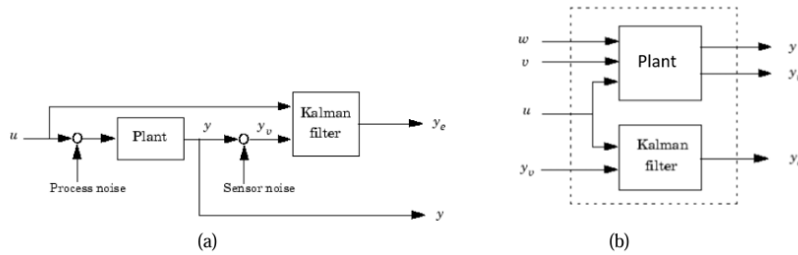
Per tale sistema e dati gli schemi (a) e (b), si realizzi uno script Matlab in grado di:

- definire il sistema, plant in (a), con le sue matrici in forma di stato;
- determinare il filtro di Kalman (a) in forma di stato sapendo che $Q = R = 1$;
- realizzare il modello in forma di stato rappresentato nel diagramma a blocchi (b);
- simulare il comportamento del filtro;
- visualizzare il confronto tra uscita reale ed uscita filtrata e tra l'errore di misura e l'errore di stima;
- calcolare e confrontare la covarianza dell'errore di misura e stima.

Considerando il sistema lineare tempo continuo descritto dalle matrici:

$$A = \begin{bmatrix} 0 & 1 & 0 \\ 0 & -0.02 & 0.04 \\ 0 & -6334 & -50 \end{bmatrix} \quad B = \begin{bmatrix} 0 \\ 0 \\ 1667 \end{bmatrix} \quad C = [1 \quad 0 \quad 0]$$

Si ripetano le operazioni per applicare il filtro di Kalman anche a tale sistema.



Commentare i risultati in entrambi i casi, evidenziando l'eventuale azione positiva del filtro di Kalman.

N.B.: impostare un tempo di campionamento pari a 100s, con passo 1; imporre come ingresso una sinusoide di frequenza pari a 0.5 e fase nulla; determinare il ruore di processo e di misura con la funzione `randn()` moltiplicata per la radice quadrata di Q ed R rispettivamente.

```

1 %% Definizione matrici
2 A= [1.14,-0.49,0.12; 1.1,0,0; 0,1.1,0];
3 B= [-0.39;0.49;0.53];
4 C= [1,0,0];
5 D= 0;
6
7 % Definizione del sistema nello spazio di stato
8 sys_ol = ss(A,B,C,D);
9
10 % Generazione filtro di Kalman in forma di stato
11 Plant = ss(A,[B B],C,D,-1,'inputname',{ 'u','w' },'outputname',{ 'y' })
12 ;
13 Q = 1;
14 R = 1;
15 [kalmf,L,P,M] = kalman(Plant,Q,R); % L e' la matrice di guadagno di
16 % Kalman, P e' la soluzione di Riccati, M e' il guadagno sull'
17 % uscita per il caso con rumore incrociato
18 kalmf=kalmf(1,:);
19
20 a=A; b=[B B 0*B]; c=[C;C]; d=[0 0 0;0 0 1];
21 plant = ss(a,b,c,d,-1,'inputname',{ 'u','w','v' },'outputname',{ 'y','yv'
22 }));
23 sys = parallel(P,kalmf,1,1,[],[]); % collega P e kalmf in parallelo
24 % sullo stesso ingresso e prendi in uscita tutte le uscite di
25 % entrambi
26 SimModel = feedback(sys,1,4,2,1); % sistema, guadagno statico,
27 % indice dell'input, indice dell'output, segno della retroazione
28 SimModel = SimModel([1 3],[1 2 3]); % selezione le uscite 1 e 3 e
29 % gli ingressi da 1,2 e 3
30
31 disp(SimModel.InputName); % w,v e u
32 disp(SimModel.OutputName); % y e yv
33
34 % Simulazione del comportamento del filtro
35 t=[0:100]';
36 u=sin(t/5);
37 n=length(t);
38 rng default;
39 w = sqrt(Q)*randn(n,1); % rumore bianco di processo
40 v = sqrt(R)*randn(n,1); % rumore bianco di misura
41 [out,T,x] = lsim(SimModel,[w,v,u]);
42 y = out(:,1); %Risposta vera
43 ye = out(:,2); %Risposta filtrata
44 yv = y+v; %Risposta misurata
45
46 errore_di_misura = y-yv;
47 errore_di_stima = y-ye;
48
49 figure(1);
50 subplot(211),plot(t,y,'--',t,ye,'-'),legend('Uscita reale','Uscita
51 % filtrata'),xlabel('No. of samples'),ylabel('Output'),title('
52 % Kalman filter response');
53 subplot(212),plot(t,errore_di_misura,'-.',t,errore_di_stima,'-'),

```

```

    legend('Errore di misura','Errore di stima'),xlabel('No. of
    samples'), ylabel('Error'));
44
45 % Calcolo covarianza errore di stima e covarianza errore di misura
46 MeasErrCov = sum(errore_di_misura.*errore_di_misura)/length(
    errore_di_misura);
47
48 EstErrCov = sum(errore_di_stima.*errore_di_stima)/length(
    errore_di_stima);
49
50
51 %% Applicazione del filtro progettato ad un altro sistema
52 A2 = [0,1,0;0,-0.02,0.04;0,-6334,-50];
53 B2 = [0;0;1667];
54 C2 = [1,0,0];
55 D2 = 0;
56
57 sys_ol_2 = ss(A2,B2,C2,D2);
58
59 Plant2 = ss(A2,[B2 B2],C2,D2,-1,'inputname',{'u','w'},'outputname'
    ,{'y'});
60 Q2 = 1;
61 R2 = 1;
62 [kalmf2,L2,P2,M2] = kalman(Plant,Q2,R2); %L e' la matrice di
    guadagno di Kalman, P e' la soluzione di Riccati, M e' il
    guadagno sull'uscita per il caso con rumore incrociato
63 kalmf2=kalmf2(1,:);
64
65 a2=A2; b2=[B2 B2 0*B2]; c2=[C2;C2]; d2=[0 0 0;0 0 1];
66 plant2 = ss(a2,b2,c2,d2,-1,'inputname',{'u','w','v'},'outputname',{'y'
    ','yv'});
67 sys2 = parallel(P2,kalmf2,1,1,[],[]); % collega P e kalmf in
    parallelo sullo stesso ingresso e prendi in uscita tutte le
    uscite di entrambi
68 SimModel2 = feedback(sys2,1,4,2,1); % sistema, guadagno statico,
    indice dell'input, indice dell'output, segno della retroazione
69 SimModel2 = SimModel2([1 3],[1 2 3]); % Selezione le uscite 1 e 3 e
    gli ingressi da 1,2 e 3
70
71 % Debug
72 disp(SimModel2.InputName); % w,v e u
73 disp(SimModel2.OutputName); % y e yv
74
75 % Simulazione del comportamento del filtro
76 t = [0:100]';
77 u2 = sin(t/5);
78 n2 = length(t);
79 rng default;
80 w2 = sqrt(Q2)*randn(n2,1); % rumore bianco di processo
81 v2 = sqrt(R2)*randn(n2,1); % rumore bianco di misura
82 [out2,T2,x2] = lsim(SimModel2,[w2,v2,u2]);
83 y2 = out2(:,1); % Risposta vera
84 ye2 = out2(:,2); % Risposta filtrata
85 yv2 = y2+v2; %Risposta misurata
86
87 errore_di_misura2 = y2-yv2;
88 errore_di_stima2 = y2-ye2;
89

```

```

90 figure(2);
91 subplot(211),plot(t,y2,'--',t,ye2,'-'),legend('Uscita reale','
    Uscita filtrata'),xlabel('No. of samples'),ylabel('Output'),
    title('Kalman filter response');
92 subplot(212),plot(t,errore_di_misura2,'-.',t,errore_di_stima2,'-'),
    legend('Errore di misura','Errore di stima'),xlabel('No. of
    samples'), ylabel('Error');
93
94 % Calcolo covarianza errore di stima e covarianza errore di misura
95 MeasErrCov2 = sum(errore_di_misura2.*errore_di_misura2)/length(
    errore_di_misura2);
96
97 EstErrCov2 = sum(errore_di_stima2.*errore_di_stima2)/length(
    errore_di_stima2);

```

Esempio 6

Considerando il modello SISO LTI di un motore in c.c. pilotato in armatura, che muove un carico calettato sull'albero motore. Le equazioni che descrivono il sistema con l'ipotesi che la coppia di carico sia trascurabile sono le seguenti:

$$v_a = R_a(t)i_a(t) + L_a \frac{di_a(t)}{dt} + e(t), \quad e(t) = k_v \frac{d\theta(t)}{dt}, \quad c_m(t) = J \frac{d^2\theta(t)}{dt^2} + f \frac{d\theta}{dt},$$

$$c_m(t) = k_m i_a(t), \quad \omega(t) = \frac{d\theta(t)}{dt}, \quad v_a(t) = G_a v(t)$$

Tale sistema è descritto in forma di stato dalle seguenti matrici:

$$A = \begin{bmatrix} 0 & 1 & 0 \\ 0 & -f/J & k_m/J \\ 0 & -k_v/L_a & -R_a/L_a \end{bmatrix} \quad B = \begin{bmatrix} 0 \\ 0 \\ G_a/L_a \end{bmatrix} \quad C = [1 \quad 0 \quad 0] \quad D = 0$$

con $R_a = 0.06\Omega$, $L_a = 0.0006H$, $f = 1Nms$, $J = 100Nms^2$, $k_m = 3.5$, $k_v = 3.5$; parametri noti del sistema. Si sceglie il vettore di stato $x(t) = [\theta(t), \omega(t), i_a(t)]^T$, costituito nell'ordine della posizione del carico, dalla velocità angolare del carico e dalla corrente di armatura. Inoltre si sceglie l'ingresso del sistema uguale alla tensione di alimentazione, $u(t) = v(t)$, e l'uscita pari alla posizione angolare, $y(t) = \theta(t)$. Si suppone infine che il parametro G_a abbia un valore iniziale pari ad 1.

Realizzare lo script Matlab in grado di:

- definire il sistema con i suoi parametri caratteristici e le matrici della forma di stato;
- determinare il polinomio caratteristico in anello aperto;
- determinare guadagno, zeri e poli del sistema;
- visualizzare la risposta all'impulso e al gradino unitario;
- verificare la completa controllabilità del sistema.

Determinare inoltre la matrice di retroazione di stato in due differenti casi (K_1, K_2):

1. il controllore deve imporre che il sistema in anello chiuso abbia i seguenti poli $S_1 = -10$, $S_{2,3} = \sqrt{3}(-1 \pm j)$;
2. i poli devono essere $S_1 = -20$, $S_2 = -8$, $S_3 = -1$.

Bisogna:

- fissare il polinomio caratteristico desiderato in anello chiuso;
- scegliere il guadagno di amplificazione G_a , in modo da imporre a zero l'errore di posizione in anello chiuso;

- definire il sistema in anello chiuso;
- determinare la funzione di trasferimento in anello chiuso, guadagno, zeri e poli.

Visualizzare e commentare la risposta al gradino unitario in anello chiuso confrontando i due casi.

Realizzare il modello del motore cc in Simulink, chiuso in retroazione prima con K_1 e poi con K_2 confrontando e commentando i risultati rispetto a quanto ottenuto in Matlab.

```

1 % Definire il sistema con i suoi parametri caratteristici e le
  matrici della forma di stato
2 Ra = 0.06; % Resistenza di armatura [Ohm]
3 La = 0.0006; % Induttanza di armatura [H]
4 f = 1; % Coefficiente di attrito viscoso [Nms]
5 J = 100; % Momento di inerzia [Nms^2]
6 km = 3.5; % Coefficiente coppia motrice [Nm/A]
7 kv = 3.5; % Coefficiente forza controlettromotrice [Vs/rad]
8 Ga = 1; % Guadagno dell'amplificatore di alimentazione
9
10 % Matrici del sistema in forma di stato
11 A = [0, 1, 0;
12      0, -f/J, km/J;
13      0, -kv/La, -Ra/La];
14
15 B = [0;
16      0;
17      Ga/La];
18
19 C = [1, 0, 0];
20
21 D = 0; % Il sistema e' strettamente proprio
22
23 % Creare l'oggetto sistema in spazio di stato
24 sys = ss(A, B, C, D);
25
26 % Determinare il polinomio caratteristico in anello aperto
27 % Il polinomio caratteristico e' poly(A)
28 char_poly = poly(A);
29
30 % Le radici del polinomio caratteristico sono gli autovalori della
  matrice A
31 eigenvalues = eig(A); % Determinare gli autovalori in anello aperto
32
33
34 % Determinare guadagno, zeri e poli del sistema
35 % Usare zpkdata per ottenere zeri, poli e guadagno
36 [zeros_sys, poles_sys, gain_sys] = zpkdata(sys, 'v'); % 'v'
  restituisce vettori/scalari
37 disp('Zeri del sistema:');
38 disp(zeros_sys);
39 disp('Poli del sistema:');
40 disp(poles_sys); % Coincidono con gli autovalori della matrice A
41 disp('Guadagno del sistema:');
42 disp(gain_sys);
43
44 % Visualizzare la risposta all'impulso e al gradino unitario
45 figure; % Crea una nuova figura
46 impulse(sys); % Risposta all'impulso
47 title('Risposta all''impulso del sistema in anello aperto'); %
  Aggiunge un titolo al grafico
48 xlabel('Tempo'); % Etichetta l'asse x

```

```

49 ylabel('Uscita (\theta)'); % Etichetta l'asse y
50 grid on; % Abilita la griglia
51
52 figure; % Crea una nuova figura
53 step(sys); % Risposta al gradino unitario
54 title('Risposta al gradino unitario del sistema in anello aperto');
55 xlabel('Tempo');
56 ylabel('Uscita (\theta)');
57 grid on;
58
59 % Verificare la completa controllabilita' del sistema
60 Mc = ctrb(A, B);
61
62 if (rank(Mc) == length(A))
63     disp("Il sistema e' completamente controllabile."); % Il rango
        massimo indica completa controllabilita'
64 else
65     disp("Il sistema non e' completamente controllabile.");
66 end
67
68 % Definire i poli desiderati per i due casi
69 % Caso 1: S1 = -10, S2,3 = sqrt(3)*(-1 +/- j)
70 p1 = [-10, sqrt(3)*(-1 + 1j), sqrt(3)*(-1 - 1j)];
71 K1 = place(A, B, p1);
72
73 % Per ottenere errore di posizione nullo per un gradino unitario,
74 % il riferimento r_sys viene scalato per K1(1) prima di essere
        applicato
75 % alla retroazione (r = K1(1) * r_sys).
76 % Definire il sistema in anello chiuso per il Caso 1
77 A_cl1 = A - B * K1;
78 B_cl1 = B * K1(1); % Scalamento del riferimento per errore statico
        nullo
79 C_cl1 = C;
80 D_cl1 = D * K1(1); % D_cl = D * K1(1) ma D=0, quindi D_cl=0
81
82 sys_cl1 = ss(A_cl1, B_cl1, C_cl1, D_cl1);
83
84 % Determinare FDT, guadagno, zeri e poli del sistema in anello
        chiuso Caso 1
85 [zeros_cl1, poles_cl1, gain_cl1] = zpkdata(sys_cl1, 'v');
86 disp('Zeri del sistema in anello chiuso Caso 1:');
87 disp(zeros_cl1); % Zeri sono calcolati automaticamente
88 disp('Poli del sistema in anello chiuso Caso 1 (dovrebbero
        coincidere con p1):');
89 disp(poles_cl1); % Verifica che place abbia funzionato
        correttamente
90 disp('Guadagno del sistema in anello chiuso Caso 1:');
91 disp(gain_cl1); % Questo e' il guadagno della ZPK form, non il DC
        gain
92 % Verificare il guadagno statico (DC gain) del sistema in anello
        chiuso Caso 1
93 dc_gain1 = dcgain(sys_cl1);
94 disp(['Guadagno statico (DC gain) Caso 1: ', num2str(dc_gain1)]); %
        Dovrebbe essere 1
95
96
97 % Caso 2: S1 = -20, S2 = -8, S3 = -1

```

```

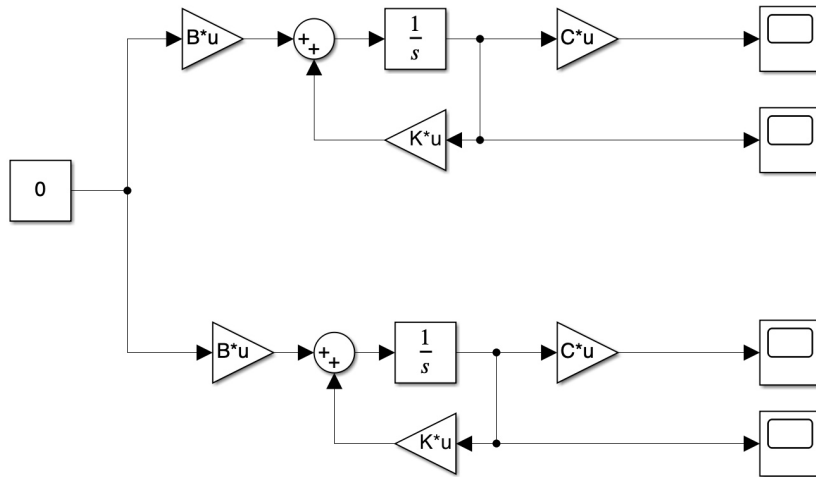
98 p2 = [-20, -8, -1];
99 K2 = place(A, B, p2);
100
101 % Definire il sistema in anello chiuso per il Caso 2
102 A_cl2 = A - B * K2;
103 B_cl2 = B * K2(1); % Scalamento del riferimento per errore statico
    nullo
104 C_cl2 = C;
105 D_cl2 = D * K2(1); % D_cl = D * K2(1) ma D=0, quindi D_cl=0
106
107 sys_cl2 = ss(A_cl2, B_cl2, C_cl2, D_cl2);
108 disp('Sistema in anello chiuso Caso 2:');
109 disp(sys_cl2);
110
111 % Determinare FDT, guadagno, zeri e poli del sistema in anello
    chiuso Caso 2
112 [zeros_cl2, poles_cl2, gain_cl2] = zpkmdata(sys_cl2, 'v');
113 disp('Zeri del sistema in anello chiuso Caso 2:');
114 disp(zeros_cl2);
115 disp('Poli del sistema in anello chiuso Caso 2 (dovrebbero
    coincidere con p2):');
116 disp(poles_cl2); % Verifica che place abbia funzionato
    correttamente
117 disp('Guadagno del sistema in anello chiuso Caso 2:');
118 disp(gain_cl2); % Questo e' il guadagno della ZPK form, non il DC
    gain
119 % Verificare il guadagno statico (DC gain) del sistema in anello
    chiuso Caso 2
120 dc_gain2 = dcgain(sys_cl2);
121 disp(['Guadagno statico (DC gain) Caso 2: ', num2str(dc_gain2)]); %
    Dovrebbe essere 1
122
123 % Visualizzare le risposte al gradino unitario
124 figure; % Crea una nuova figura
125 step(sys_cl1, sys_cl2); % Risposte al gradino unitario per entrambi
    i sistemi
126 title('Risposta al gradino unitario del sistema in anello chiuso');
127 xlabel('Tempo [s]');
128 ylabel('Posizione angolare \theta [rad]');
129 legend('Caso 1: Poli = [-10, -1.73+/-1.73j]', 'Caso 2: Poli = [-20,
    -8, -1]');
130 grid on;

```

Analisi dei poli e delle risposte al gradino: Il Caso 1 ha un polo reale dominante a -10 e una coppia di poli complessi coniugati a $-1.73 \pm j1.73$. La parte reale dei poli complessi (-1.73) determina la velocità di convergenza (esponenziale decrescente $\exp(-1.73t)$), mentre la parte immaginaria (1.73) determina la frequenza di oscillazione. Ci si aspetta una risposta con una certa oscillazione e un tempo di assestamento dominato dalla parte reale più vicina all'asse immaginario (-1.73). Il polo a -10 è molto più veloce e quindi meno dominante.

Il Caso 2 ha tutti poli reali e distinti a -20, -8, -1. Il polo più vicino all'asse immaginario è a -1. Questo polo dominerà la risposta transitoria, determinando un tempo di assestamento più lento rispetto al Caso 1, e una risposta senza oscillazioni (essendo i poli reali). I poli a -20 e -8 sono molto più veloci e il loro effetto transitorio si esaurisce prima.

Confronto atteso: Ci si aspetta che la risposta del Caso 1 presenti una sovraelongazione e un'oscillazione a causa dei poli complessi, con un tempo di assestamento dettato dal polo -1.73. Ci si aspetta che la risposta del Caso 2 non presenti oscillazioni, ma un tempo di assestamento più lungo, dettato dal polo -1. Il guadagno statico unitario per entrambi i casi dovrebbe garantire che la posizione angolare raggiunga il valore di 1 radiante a regime per un ingresso a gradino unitario.



Esempio 7

A partire dal sistema MISO non lineare TI, che modella un sistema idraulico con tre serbatoi comunicanti, se ne consideri la linearizzazione nell'intorno di una soluzione di equilibrio (h_0, q_0, y_0) con $q_0 = [q_{10}, q_{30}]^T$ ingresso di equilibrio (con valori costanti delle portate in ingresso), $h_0 = [h_{10}, h_{20}, h_{30}]^T$ unico stato di equilibrio ottenuto risolvendo l'equazione vettoriale:

$$\dot{h} = f(h_1, h_2, h_3, q_{10}, q_{30}) = 0$$

$$\begin{cases} h_{10} = h_{20} + \frac{1}{2g} \left(\frac{q_{10}}{c} \right)^2 \\ h_{20} = h_{30} + \frac{1}{2g} \left(\frac{q_{10}}{c} \right)^2 \\ h_{30} = H + \frac{1}{2g} \left(\frac{q_{10} + q_{30}}{c} \right)^2 \\ y_0 = h_{30} \end{cases}$$

Considerando che il sistema linearizzato risulta descritto dalle seguenti matrici di stato:

$$A = \begin{bmatrix} -a & a & 0 \\ a & -2a & a \\ 0 & a & -(a+b) \end{bmatrix} \quad B = \begin{bmatrix} 1/s & 0 \\ 0 & 0 \\ 0 & 1/s \end{bmatrix} \quad C = [0 \quad 0 \quad 1] \quad D = [0 \quad 0]$$

con

$$a = \frac{c^2 g}{s g_{10}} \quad b = \frac{c^2 g}{s (q_{10} + q_{30})}$$

Si realizzi uno script Matlab che:

- definisca il sistema in forma di stato;
- determini gli autovalori n anello aperto;
- verifichi la completa controllabilità ed osservabilità del sistema;
- realizzi una retroazione costante sullo stato K1 che imponga i seguenti autovalori $[-0.03, -0.001+0.001j, -0.001-0.001j]$;
- determini l'osservatore dello stato con gli autovalori $[-0.02, -0.2, -0.4]$;
- determini la risposta libera del sistema con condizione iniziale non nulla, quando il sistema è chiuso in retroazione con K1 e l'osservatore di stato;
- visualizzi gli stati e gli errori di stima sugli stati.

Si realizzi il modello del sistema linearizzato con la retroazione K1 e l'osservatore in Simulink tale che:

- siano impostate le condizioni iniziali opportune su stati e osservatore degli stati;
- i parametri di simulazione siano configurati opportunamente;
- il sistema idraulico e l'osservatore siano contenuti in due diversi subsystem;
- le variabili d'interesse (uscita, stati, stati stimati, errore di stima) siano memorizzate nel workspace.

Si visualizzano l'uscita, stati ed errori di stima confrontando i risultati con quanto ottenuto in Matlab, commentandoli.

N.B.: per le costanti del sistema si assumono i seguenti valori:

$$r = 0.4m, R = 6m, c = \pi r^2, S = \pi R^2, g = 9.81ms^{-2}, H = 4m, q_{10} = 1.2s^{-1},$$

$$q_{30} = 0.5m^3s^{-1};$$

$[h_1, h_2, h_3] = [4, 5, 6]; [e_{11}, e_{21}, e_{31}] = [6.2, 9];$ i segnali di riferimento sono nulli.

```

1 %% Definizione del sistema in forma di stato
2
3 % Definizione dei parametri del sistema idraulico
4 r = 0.4; % raggio della sezione dei tubi di comunicazione e di
   uscita [m]
5 R = 6; % raggio della sezione dei serbatoi [m]
6 g = 9.81; % accelerazione di gravita' [m/s^2]
7 H = 4; % altezza del foro di uscita sul terzo serbatoio [m]
8 q10 = 1.2; % portata di liquido costante in ingresso al primo
   serbatoio all'equilibrio [m^3/s]
9 q30 = 0.5; % portata di liquido costante in ingresso al terzo
   serbatoio all'equilibrio [m^3/s]
10
11 % Calcolo delle sezioni dei condotti e dei serbatoi [3, 4]
12 c = pi * r^2; % sezione circolare dei condotti [m^2]
13 S = pi * R^2; % sezione circolare dei serbatoi [m^2]
14 two_g = 2 * g;
15
16 % Calcolo delle altezze di equilibrio [h10, h20, h30] basate sulle
   equazioni di flusso all'equilibrio [5]
17 % Si assume h10 > h20 > h30 > H, il che implica che le funzioni sgn
   sono unitarie.
18 % Le equazioni di equilibrio dei flussi sono (omettendo le
   dipendenze temporali):
19 % q1 - q12 = 0 => q10 = q12 = c * sqrt(2*g*(h10-h20))
20 % q12 - q23 = 0 => q10 = q23 = c * sqrt(2*g*(h20-h30))
21 % q23 + q3 - qo = 0 => q10 + q30 = qo = c * sqrt(2*g*(h30-H))
22 % Da queste equazioni si ricavano le differenze di livello all'
   equilibrio:
23 delta_h12_eq = (q10/c)^2 / two_g;
24 delta_h23_eq = (q10/c)^2 / two_g;
25 delta_h3H_eq = ((q10+q30)/c)^2 / two_g;
26
27 % Calcolo delle altezze di equilibrio partendo dall'altezza H:
28 h30_eq = H + delta_h3H_eq;
29 h20_eq = h30_eq + delta_h23_eq;
30 h10_eq = h20_eq + delta_h12_eq;
31 h_eq = [h10_eq; h20_eq; h30_eq];
32
33 disp('Parametri del sistema idraulico:');
34 fprintf('c = %f m^2\n', c);
35 fprintf('S = %f m^2\n', S);

```

```

36 fprintf('H = %f m\n', H);
37 fprintf('q10 = %f m^3/s\n', q10);
38 fprintf('q30 = %f m^3/s\n', q30);
39 disp('Altezze di equilibrio calcolate [h10, h20, h30] (m):');
40 disp(h_eq);
41
42 % Si verifica che le altezze calcolate soddisfino l'ipotesi h10 >
    h20 > h30 > H
43 if h10_eq <= h20_eq || h20_eq <= h30_eq || h30_eq <= H
44     warning('Le altezze di equilibrio calcolate NON soddisfano l''
        ipotesi h10 > h20 > h30 > H utilizzata per la
        linearizzazione con flussi positivi.');
```

% Nota: se questa condizione non e' soddisfatta, le radici
 quadrate nei coefficienti
 % della matrice A diventano immaginarie, indicando un punto di
 equilibrio non fisico
 % nelle ipotesi di flusso considerate (h1 > h2 > h3 > H).
45
46 end
47
48 % Calcolo dei coefficienti della matrice A linearizzata
49 % I coefficienti sono le derivate parziali di f(h,u) = d(delta_h)/
 dt rispetto agli stati (delta_h)
50 % valutate nel punto di equilibrio.
51 % Dal processo di linearizzazione delle equazioni di flusso [6, 7]:
52 k12 = c * sqrt(two_g) / (2 * S * sqrt(h10_eq - h20_eq)); % Derivata
 di c*sqrt(2g*(h1-h2))/S wrt h1 o h2 (con segno opposto)
53 k23 = c * sqrt(two_g) / (2 * S * sqrt(h20_eq - h30_eq)); % Derivata
 di c*sqrt(2g*(h2-h3))/S wrt h2 o h3 (con segno opposto)
54 k3H = c * sqrt(two_g) / (2 * S * sqrt(h30_eq - H)); % Derivata
 di c*sqrt(2g*(h3-H))/S wrt h3
55
56 % Definizione delle matrici A, B, C, D del sistema linearizzato in
 spazio di stato [6]
57 % Nota: La struttura della matrice A qui utilizzata deriva
 direttamente dalle derivate
58 % parziali delle equazioni di flusso linearizzate, come descritto
 nel sorgente [6],
59 % sebbene possa presentare piccole differenze rispetto alla matrice
 A esplicitamente
60 % riportata nel sorgente [6], possibilmente dovute a variazioni di
 trascrizione o definizione
61 % dei parametri 'a' e 'b'.
62 A = [-k12, k12, 0;
63 k12, -(k12 + k23), k23;
64 0, k23, -(k23 + k3H)]; % Matrice A derivata dalle derivate
 parziali
65
66 B = [1/S, 0; % La prima entrata e' delta_q1 / S [6]
67 0, 0; % delta_q1 influisce solo su h1; delta_q3 influisce
 solo su h3
68 0, 1/S]; % La seconda entrata e' delta_q3 / S [6]
69
70 C = [0, 0, 1]; % L'uscita e' la variazione del livello del terzo
 serbatoio delta_h3 [9]
71 D = [0, 0]; % Matrice di collegamento diretto nulla per sistemi
 strettamente propri [6, 10]
72
73 % Creazione dell'oggetto state-space
74
75

```

76 sys = ss(A, B, C, D);
77 disp('Matrice di stato A:'); disp(A);
78 disp('Matrice di ingresso B:'); disp(B);
79 disp('Matrice di uscita C:'); disp(C);
80 disp('Matrice di collegamento diretto D:'); disp(D);
81
82
83 %% Determinazione degli autovalori in anello aperto [13, 14]
84 open_loop_poles = eig(A);
85 disp('Autovalori del sistema in anello aperto:');
86 disp(open_loop_poles);
87
88
89 %% Verifica della completa controllabilita' ed osservabilita' del
    sistema [11, 13-16]
90 % Matrice di controllabilita' [14, 16]
91 Cont = ctrb(A, B);
92 % Rango della matrice di controllabilita' [14, 16]
93 rank_Cont = rank(Cont);
94 n = size(A, 1); % Ordine del sistema (n=3 in questo caso)
95
96 disp(['Rango della matrice di controllabilita': ', num2str(
    rank_Cont)']);
97 if rank_Cont == n
98     disp("Il sistema e' completamente controllabile.");
99 else
100     disp("Il sistema NON e' completamente controllabile.");
101 end
102
103 % Matrice di osservabilita'
104 Obs = obsv(A, C);
105 % Rango della matrice di osservabilita'
106 rank_Obs = rank(Obs);
107
108 disp(["Rango della matrice di osservabilita': ", num2str(rank_Obs)
    ]);
109 if rank_Obs == n
110     disp("Il sistema e' completamente osservabile.");
111 else
112     disp("Il sistema NON e' completamente osservabile.");
113 end
114
115 %% Realizzazione di una retroazione costante sullo stato K1
116 % Autovalori desiderati per il sistema in anello chiuso con
    retroazione di stato K1
117 p_controller = [-0.03, -0.001+0.001j, -0.001-0.001j];
118 % Utilizzo della funzione 'place' per calcolare la matrice di
    retroazione K1
119 % K = place(A, B, autovalori_desiderati)
120 K1 = place(A, B, p_controller);
121 disp('Matrice di retroazione K1 (per il controllore):');
122 disp(K1);
123
124 % Verifica degli autovalori del sistema retroazionato (A - B*K1)
125 A_cl_true = A - B*K1;
126 cl_poles_true = eig(A_cl_true);
127 disp('Autovalori del sistema retroazionato con K1 (stato vero) -
    dovrebbero corrispondere ai desiderati:');

```

```

128 disp(cl_poles_true); % Dovrebbe corrispondere a p_controller
129
130
131 %% Determinazione dell'osservatore dello stato con guadagno L
132 % Autovalori desiderati per la dinamica dell'errore di stima (
    matrice A - L*C)
133 p_observer = [-0.02, -0.2, -0.4];
134 % Il guadagno dell'osservatore L per il sistema (A, C) puo' essere
    calcolato usando il
135 % principio di dualita'. Il problema di sintesi dell'osservatore
    per (A, C)
136 % con autovalori desiderati per (A - LC) e' duale al problema di
    sintesi di retroazione
137 % di stato per (A', C') con gli stessi autovalori desiderati per (A
    ' - C'*KD).
138 % La matrice L e' la trasposta della matrice KD calcolata per il
    sistema duale.
139 A_dual = A'; % Matrice di stato del sistema duale
140 C_dual = C'; % Matrice di ingresso del sistema duale
141 % Utilizzo della funzione 'place' per calcolare la matrice di
    retroazione KD per il sistema duale (A_dual, C_dual)
142 KD = place(A_dual, C_dual, p_observer);
143 % La matrice di guadagno dell'osservatore L e' la trasposta di KD
144 L = KD';
145 disp('Matrice di guadagno dell''osservatore L:');
146 disp(L);
147
148 % Verifica degli autovalori della matrice (A - L*C), che
    determinano la dinamica dell'errore di stima
149 A_obs_dynamics = A - L*C;
150 obs_poles = eig(A_obs_dynamics);
151 disp('Autovalori della dinamica dell''errore di stima (A - LC) -
    dovrebbero corrispondere ai desiderati:');
152 disp(obs_poles); % Dovrebbe corrispondere a p_observer
153
154 %% Simulazione della risposta libera del sistema con retroazione
    dallo stato stimato
155
156 % Il sistema complessivo (impianto + osservatore) puo' essere
    rappresentato da
157 % un sistema in spazio di stato con 2n variabili di stato.
158 % Le variabili di stato aumentate sono [x; x_hat], dove x e' lo
    stato vero
159 % (variazione rispetto all'equilibrio) e x_hat e' lo stato stimato.
    n=3, quindi 2n=6.
160 % L'ingresso di controllo e' u = -K*x_hat (poiche' i segnali di
    riferimento sono nulli).
161 % L'uscita misurata e' y = C*x (poiche' il set-point e' 0 per il
    sistema linearizzato).
162
163 % Dinamica dello stato vero: x_dot = A*x + B*u = A*x + B*(-K1*x_hat
    ) = A*x - B*K1*x_hat
164 % Dinamica dello stato stimato: x_hat_dot = A*x_hat + B*u + L*(y -
    C*x_hat)
165 % Sostituendo u e y: x_hat_dot = A*x_hat + B*(-K1*x_hat) + L*(C*x -
    C*x_hat)
166 %
    x_hat_dot = (A - B*K1 - L*C)*x_hat + L*C*x
167

```

```

168
169 % Condizioni iniziali
170 x0_initial = [4; 5; 6]; % Questa e' la condizione iniziale del
    vettore di stato VERO x(0)
171 % L'utente ha specificato l'errore di stima iniziale: [e11, e21,
    e31] = [32-34].
172 epsilon0_initial = [6; 2; 9]; % Questa e' la condizione iniziale
    dell'errore epsilon(0) = x(0) - x_hat(0)
173
174 % Calcolo della condizione iniziale dello stato stimato: x_hat(0) =
    x(0) - epsilon(0)
175 x_hat0_initial = x0_initial - epsilon0_initial;
176
177 % Vettore di stato iniziale combinato [x(0); x_hat(0)]
178 combined_x0 = [x0_initial; x_hat0_initial];
179
180 % Simulazione della risposta libera del sistema combinato
181 % La risposta libera si ottiene considerando un ingresso nullo e
    una condizione iniziale non nulla.
182 % Si utilizza un oggetto state-space per il sistema combinato, con
    matrici B, C, D nulle
183 % per simulare la risposta libera dell'intero sistema aumentato.
184 sys_combined = ss(A_combined, zeros(2*n,1), zeros(1,2*n), 0); %
    Sistema 2n, ingresso nullo per risposta libera
185 % Nota: in alternativa, si puo' usare ss(A_combined, [], [], []).
186
187 % Vettore dei tempi per la simulazione
188 T_sim = 0:0.1:1000; % Simulazione per 1000 secondi con passo 0.1s
189
190 % Esecuzione della simulazione della risposta libera con condizione
    iniziale [23, 28]
191 % [Y, T, X] = initial(sistema_ss, condizione_iniziale,
    vettore_tempi)
192 [Y_sim, T_sim, X_sim] = initial(sys_combined, combined_x0, T_sim);
193
194 % Estrazione degli stati veri e degli stati stimati dai risultati
    della simulazione (X_sim)
195 x_true_sim = X_sim(:, 1:n); % Le prime n colonne sono gli
    stati veri
196 x_hat_sim = X_sim(:, (n+1):end); % Le colonne da n+1 a 2n sono gli
    stati stimati
197
198 % Calcolo dell'errore di stima nel tempo: epsilon(t) = x(t) - x_hat
    (t)
199 epsilon_sim = x_true_sim - x_hat_sim;
200
201
202 %% Visualizzazione degli stati e degli errori di stima
203
204 % Visualizzazione dell'evoluzione degli stati veri (variazioni
    rispetto all'equilibrio)
205 figure;
206 plot(T_sim, x_true_sim);
207 title('Evoluzione delle variazioni di livello (Stati Veri)');
208 xlabel('Tempo [s]');
209 ylabel('Variazione livello [m]');
210 legend({'\delta h_1', '\delta h_2', '\delta h_3'});
211 grid on;

```

```

212
213 % Visualizzazione dell'evoluzione dell'errore di stima sugli stati
214 figure;
215 plot(T_sim, epsilon_sim);
216 title('Evoluzione dell''Errore di Stima sugli Stati');
217 xlabel('Tempo [s]');
218 ylabel('Errore [m]');
219 legend({'\epsilon_1', '\epsilon_2', '\epsilon_3'});
220 grid on;
221
222 % Visualizzazione comparata degli stati veri e stimati per ogni
    componente
223 figure;
224 subplot(3,1,1);
225 plot(T_sim, x_true_sim(:,1), 'b-', T_sim, x_hat_sim(:,1), 'r--');
226 ylabel('\delta h_1 [m]');
227 legend('Vero', 'Stimato');
228 title('Confronto Stati Veri vs Stimati');
229 grid on;
230
231 subplot(3,1,2);
232 plot(T_sim, x_true_sim(:,2), 'b-', T_sim, x_hat_sim(:,2), 'r--');
233 ylabel('\delta h_2 [m]');
234 legend('Vero', 'Stimato');
235 grid on;
236
237 subplot(3,1,3);
238 plot(T_sim, x_true_sim(:,3), 'b-', T_sim, x_hat_sim(:,3), 'r--');
239 xlabel('Tempo [s]');
240 ylabel('\delta h_3 [m]');
241 legend('Vero', 'Stimato');
242 grid on;
243
244 % Visualizzazione dei valori finali (a regime) per verificare la
    convergenza all'equilibrio (0)
245 disp('Valori finali (a regime, t=1000s) delle variazioni di stato [
    dh1, dh2, dh3]:');
246 disp(x_true_sim(end, :));
247 disp('Valori finali (a regime, t=1000s) degli errori di stima [e1,
    e2, e3]:');
248 disp(epsilon_sim(end, :));
249
250 % Note finali sul principio di separazione [42]
251 disp(' ');
252 disp('Nota: Il principio di separazione degli autovalori afferma
    che gli autovalori');
253 disp('del sistema complessivo (impianto + osservatore) sono l''
    unione degli autovalori');
254 disp('del sistema retroazionato sullo stato vero (A - BK) e degli
    autovalori della');
255 disp('dinamica dell''errore dell''osservatore (A - LC).');
256 disp('Autovalori del sistema combinato (A_combined):');
257 disp(eig(A_combined));
258 disp('Gli autovalori sono l''unione di quelli di (A - BK1) e (A -
    LC), verificando il principio di separazione.');
```

Esempio 8

A partire dal modello non lineare del pendolo inverso costituito dalle seguenti equazioni di stato:

$$\begin{cases} \dot{x}_1(t) = x_2(t) \\ \dot{x}_2(t) = \frac{mL\sin x_3(t)x_4^2(t) - mg\sin x_3(t)\cos x_3(t) + u(t)}{M + m\sin^2 x_3(t)} \\ \dot{x}_3(t) = x_4(t) \\ \dot{x}_4(t) = \frac{-mL\sin x_3(t)\cos x_3(t)x_4^2(t) + (M+m)g\sin x_3(t) - u(t)\cos x_3(t)}{(M + m\sin^2 x_3(t))L} \end{cases}$$

dove $x(t) = [x_1(t), x_2(t), x_3(t), x_4(t)]^T = [x(t), \dot{x}(t), \theta(t), \dot{\theta}(t)]^T$ è il vettore di stato e $y(t) = [x(t), \theta(t)] = [x_1(t), x_3(t)]^T$ è il vettore delle uscite. La posizione lineare dell'asta del pendolo è $x(t)$, quella angolare è $\theta(t)$; considerandone la linearizzazione intorno allo stato di equilibrio $\bar{x} = [0, 0, 0, 0]^T$ in corrispondenza dell'ingresso di equilibrio $\bar{u} = 0$ descritta dalle seguenti equazioni:

$$\begin{cases} \dot{x}_1(t) = x_2(t) \\ \dot{x}_2(t) = -\frac{mg}{M}x_3(t) + \frac{1}{M}u(t) \\ \dot{x}_3(t) = x_4(t) \\ \dot{x}_4(t) = \frac{(M+m)g}{ML}x_3(t) - \frac{1}{ML}u(t) \end{cases}$$

con $M = 0.0$; $m = 0.3$; $L = 1$; $g = 9.81$.

Realizzare uno script Matlab che consenta di:

- definire i parametri caratteristici del sistema e definire il sistema in forma di stato;
- determinare gli autovalori del sistema;
- verificare controllabilità ed osservabilità;
- applicare una retroazione di stato K che minimizzi il funzionale di costo

$$J = \int_0^{+\infty} (x^T(t)Qx(t) + u^T(t)Ru(t))dt$$

con $R = 1/50$ e Q scelta opportunamente;

- definire il sistema in anello chiuso in retroazione con K;
- visualizzare gli stati e le uscite del sistema in due figure diverse (inserire legenda);

Si analizzi il modello in Simulink (creando un subsystem), verificando l'efficacia del controllore in retroazione di stato progettato ($u(t) = -Ku(t)$), a partire dallo stato iniziale del pendolo pari a $\bar{x} = [0.4, 0, 0.4, 0]$.

- cosa succede con le condizioni iniziali $\bar{x} = [0.4, 0, 0.8, 0]$?

```

1 % Definizione parametri
2 M = 0.5;
3 m = 0.3;
4 L = 1;
5 g = 9.81;
6 % Definizione matrici
7 A = [0, 1, 0, 0;
8       0, 0, -(m*g)/M, 0;
9       0, 0, 0, 1;
10      0, 0, (M+m)*g/(M*L), 0];
11 B = [0; 1/M; 0; -1/(M*L)];
12 C = [1, 0, 0, 0; 0, 0, 1, 0];
13 D = 0;
14
15 %Definizione del sistema nello spazio di stato
16 sys_ol = ss(A,B,C,D);

```

```

17 autovalori_ol = eig(sys_ol);
18 %Verifica ctrb e obsv
19 Mc=ctrb(A,B);
20 if(rank(Mc)==length(A))
21     disp("Il sistema e' completamente controllabile");
22 else
23     disp("Il sistema non e' completamente controllabile");
24 end
25 Mo=obsv(A,C);
26 if(rank(Mo)==length(A))
27     disp("Il sistema e' completamente osservabile");
28 else
29     disp("Il sistema non e' completamente osservabile");
30 end
31
32 %LQR
33 R=1/50;
34 Q=C'*C;
35 [K,S,p]=lqr(sys_ol,Q,R);
36
37 sys_cl=ss(A-B*K,B,C,D);
38 X_0=[0.4 0 0.4 0];
39 [Y,T,X]=initial(sys_cl,X_0);
40
41 figure(1);
42 plot(T,X(:,1),T,X(:,2),T,X(:,3),T,X(:,4)),grid on,legend('Stato X1',
    'Stato X2','Stato X3','Stato X4'), title('Stati del sistema in
    anello chiuso con K1');
43 figure(2);
44 plot(T,Y(:,1),T,Y(:,2)),grid on,legend('Uscita 1','Uscita 2'),
    title('Uscite del sistema in anello chiuso con K1');
45 X_0_2=[0.4 0 0.8 0];
46 [Y1,T1,X1]=initial(sys_cl,X_0_2);
47 figure(3);
48 plot(T1,X1(:,1),T1,X1(:,2),T1,X1(:,3),T1,X1(:,4)),grid on,legend('
    Stato X1','Stato X2','Stato X3','Stato X4'), title('Stati del
    sistema in anello chiuso con K1 con le nuove condizioni iniziali
    ');
49 figure(4);
50 plot(T1,Y1(:,1),T1,Y1(:,2)),grid on,legend('Uscita 1','Uscita 2'),
    title('Uscite del sistema in anello chiuso con K1');

```